

01.3  
**Мультистабильность и сложные колебательные режимы в генераторе с запаздывающим отражением от нагрузки**

© М.И. Балакин<sup>1</sup>, Н.М. Рыскин<sup>2,3</sup>

<sup>1</sup> Саратовский государственный технический университет им. Гагарина Ю.А, Саратов, Россия  
<sup>2</sup> Саратовский филиал Института радиотехники и электроники им. В.А. Котельникова РАН, Саратов, Россия  
<sup>3</sup> Саратовский национальный исследовательский государственный университет им. Н.Г. Чернышевского  
 E-mail: balakinmaxim@gmail.com

Поступило в Редакцию 8 октября 2018 г.  
 В окончательной редакции 8 октября 2018 г.  
 Принято к публикации 25 декабря 2018 г.

Проведено исследование особенностей формирования мультистабильности в генераторе с запаздывающим отражением от нагрузки. Определены характерные сценарии рождения и эволюции мультистабильных состояний. Выявлено влияние неизохронности на сценарии перехода к хаосу.

DOI: 10.21883/PJTF.2019.06.47497.17551

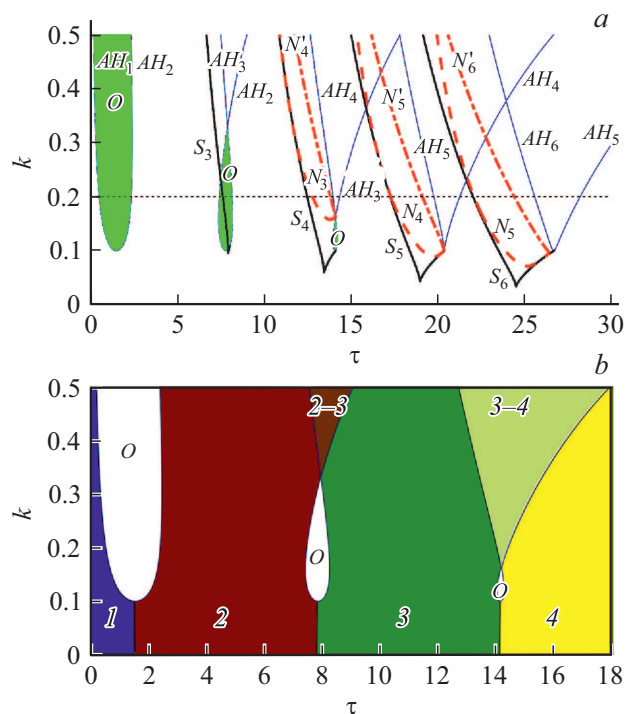
Нелинейная динамика систем с запаздыванием в настоящее время является предметом активных исследований, поскольку подобные системы играют большую роль во многих областях науки и техники: радиофизике, механике, кибернетике, нелинейной оптике, биологии, медицине, экономике (см., например, [1,2]). В частности, в последнее время привлекла внимание задача о воздействии запаздывающего сигнала, отраженного от удаленной нагрузки, на динамику различных микроволновых электронных генераторов, в том числе гиротронов [3–5]. Как известно, наличие запаздывания приводит к появлению нескольких устойчивых стационарных состояний, т. е. к мультистабильности и гистерезису [6]. Эффекты мультистабильности могут носить паразитный характер, приводя к скачкообразным переключениям между режимами генерации на различных модах при флуктуациях управляющих параметров. С другой стороны, наличие мультистабильности можно использовать, например, для кодирования и передачи информации [7]. Отражения также могут приводить к появлению автомодуляционных и хаотических режимов генерации [8].

Типичным примером автоколебательной системы с запаздыванием является генератор ван дер Поля–Дуффинга с отражением от удаленной нагрузки

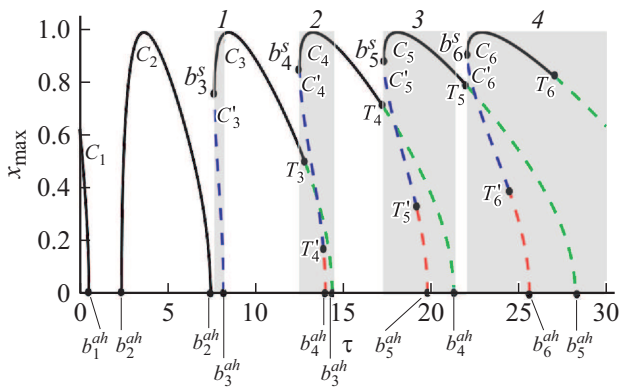
$$\frac{d^2x}{dt^2} - (\alpha - x^2)\frac{dx}{dt} + \omega_0^2x + \gamma x^3 = \omega_0^2kx(t - \tau), \quad (1)$$

который может служить простейшей моделью доплеровского автодина [9]. В уравнении (1)  $x$  — динамическая переменная,  $\alpha$  — управляющий параметр, характеризующий превышение порога генерации,  $\omega_0$  — собственная частота малых колебаний,  $\gamma$  — параметр неизохронности,  $k$  — коэффициент отражения,  $\tau$  — время запаздывания. В [9] показано, что при увеличении параметров  $k$  и  $\tau$  режим периодических автоколебаний теряет устойчивость и возникают квазипериодические колебания, а затем каскад бифуркаций удвоения тора,

завершающийся возникновением хаоса. Однако представляется, что наличие мультистабильности должно существенно повлиять на картину сложных колебательных режимов. В настоящей работе выявлены бифуркационные механизмы формирования мультистабильности в генераторе с запаздывающим отражением, что важно с точки зрения управления переходами между сосуществующими колебательными модами и подавления нежелательных колебаний.



**Рис. 1.** *a* — бифуркационная диаграмма на плоскости параметров  $\tau$ – $k$ ; *b* — общая структура зон генерации: *O* — область устойчивости состояния равновесия в начале координат, 2–3 и 3–4 — перекрытие зон генерации различных мод (области мультистабильности).



**Рис. 2.** Однопараметрическая бифуркационная диаграмма в зависимости от запаздывания  $\tau$ .  $k = 0.2$ .

На рис. 1, *a* приведена структура плоскости параметров  $\tau - k$ , построенная с помощью пакета бифуркационного анализа DDE-BIFTOOL [10]. Значения остальных параметров следующие:  $\alpha = 0.1$ ,  $\omega_0 = 1.0$ ,  $\gamma = 1.0$ . При этом в генераторе без отражений реализуется режим квазигармонических автоколебаний. В целом всю диаграмму можно разделить на отдельные листы, соответствующие режимам генерации различных собственных мод (рис. 1, *b*). Границы этих листов формируются отрезками линий бифуркации Андронова–Хопфа  $AH_n$  и касательных бифуркаций  $S_n$  (здесь  $n = 1, 2, \dots$ , моды пронумерованы в соответствии с рис. 1, *b*). При пересечении линий  $AH_n$  происходит рождение предельного цикла из состояния равновесия в начале координат, а при пересечении линий  $S_n$  — рождение устойчивого и неустойчивого предельных циклов из сгущения фазовых траекторий. Таким образом, если увеличивать коэффициент отражения, при пересечении какой-либо из данных линий происходит возбуждение периодических колебаний на соответствующей собственной моде. В области перекрытия листов, соответствующих различным модам, наблюдаются мультистабильность и формирование сложных колебательных режимов. Области устойчивости неподвижной точки обозначены символом  $O$ .

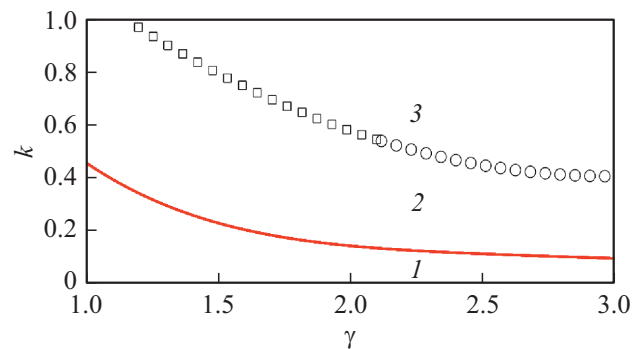
Таким образом, внутри каждого из листов существует устойчивый предельный цикл, претерпевающий различные бифуркации при вариации управляющих параметров. При увеличении коэффициента отражения он теряет устойчивость и наблюдается возбуждение квазипериодических колебаний в результате суперкритической бифуркации Неймарка–Сакера (штриховые линии  $N_n$ ). Штрихпунктирными линиями  $N'_n$  отмечены субкритические бифуркации Неймарка–Сакера неустойчивых циклов.

Более подробно эту картину иллюстрирует представленная на рис. 2 бифуркационная диаграмма, на которой отложены максимумы переменной  $x$  в зависимости от  $\tau$  при  $k = 0.2$  (вдоль горизонтальной пунктирной линии на рис. 1, *a*). Сплошными линиями показаны устойчивые режимы, штриховыми — неустойчивые. Точки  $b_n^s$  соответствуют пересечениям линий касательной

бифуркации  $S_n$ . Видно, что при этом рождается пара предельных циклов: устойчивый  $C_n$  и неустойчивый  $C'_n$ . Точки  $b_n^{ah}$  отвечают пересечениям линий суб- или суперкритической бифуркации Андронова–Хопфа  $AH_n$ , при этом происходит рождение циклов из неподвижной точки. Точки  $T_n$  ( $T'_n$ ) соответствуют бифуркациям рождения устойчивого (неустойчивого) тора из устойчивого (неустойчивого) цикла. Мультистабильность имеет место в областях, отмеченных серым на рис. 2, причем наблюдается сосуществование устойчивой неподвижной точки и предельного цикла (область 1), двух устойчивых предельных циклов (область 2), устойчивого предельного цикла и устойчивого тора (области 2–4), двух устойчивых торов (область 4). Таким образом, обнаруженная картина поведения оказывается значительно более сложной, чем представлялось ранее [9].

При увеличении коэффициента отражения будет наблюдаться мультистабильность квазипериодических и хаотических режимов, соответствующих различным собственным модам. Более того, как показало численное моделирование, переходы к хаосу могут происходить по различным сценариям. Наряду с описанным в [9] переходом через последовательность удвоений торов наблюдается сценарий разрушения квазипериодического движения Рюэля–Тakensа. То, какой именно из двух сценариев реализуется, зависит от параметра неизохронности  $\gamma$ . На рис. 3 построены границы рождения квазипериодических колебаний и перехода к хаосу на плоскости параметров  $\gamma - k$  при  $\tau = 20$ . Удвоения двухчастотных торов наблюдаются только при достаточно больших  $\gamma$  (кружки на рис. 3), тогда как при меньших  $\gamma$  происходит рождение трехчастотного тора и его последующее разрушение (квадраты на рис. 3).

Отметим, что пороговые значения растут при уменьшении неизохронности. Более того, при  $\gamma < 1.2$  граница перехода к хаосу сдвигается в область  $k > 1$ , рассматривать которую не имеет смысла, поскольку  $k$  представляет собой коэффициент отражения. Это может быть причиной того, что в работах [4–6] хаотические режимы не наблюдались.



**Рис. 3.** Характерные области генерации на плоскости параметров  $\gamma - k$ . 1 — периодические колебания, 2 — квазипериодические колебания, 3 — хаотические колебания.

Таким образом, в настоящей работе изучена картина нелинейной динамики генератора с запаздывающим отражением от нагрузки, которая в значительной мере определяется многомодовым характером данной системы. При увеличении коэффициента отражения  $k$  рождение предельных циклов, соответствующих колебаниям различных мод, происходит либо в результате касательной бифуркации, либо в результате бифуркации Андронова–Хопфа. Дальнейшее увеличение  $k$  приводит к возникновению квазипериодических и хаотических колебаний. В областях перекрытия зон генерации различных мод присутствует мультистабильность. Области мультистабильности расширяются с ростом времени задержки, причем в зависимости от параметров в них может наблюдаться сосуществование различных устойчивых режимов (периодических, квазипериодических или хаотических). Обнаружено, что сценарий перехода к хаосу (разрушение трехмерного тора или последовательность удвоений тора) определяется параметром неизохронности  $\gamma$ . Порог перехода к хаосу увеличивается с уменьшением этого параметра, а при достаточно малых  $\gamma$  хаотическая динамика вообще исчезает.

Выявлено влияние величины обратной связи и неизохронности на переходы к хаосу.

Авторы благодарны М.И. Петелину и Ю.В. Новожиловой за стимулирующие дискуссии.

## Список литературы

- [1] Erneux T., Javaloyes J., Wolfrum M., Yanchuk S. // *Chaos*. 2017. V. 27. P. 114201.
- [2] Time delay systems: theory, numerics, applications, and experiments / Eds T. Insperger, T. Eral, G. Orosz. Cham, Switzerland: Springer, 2017. 362 p.
- [3] Глявин М.Ю., Денисов Г.Г., Кульгин М.Л., Новожилова Ю.В. // *Письма в ЖТФ*. 2015. Т. 41. В. 13. С. 25–32.
- [4] Kharchev N., Cappa A., Malakhov D., Martinez J., Konchekov E., Tolkachev A., Borzosekov V., Sarksyian K., Petelin M. // *J. Infrared Millimeter Terahertz Waves*. 2015. V. 36. N 12. P. 1145–1156.
- [5] Khutoryan E.M., Idehara T., Melnikova M.M., Ryskin N.M., Dumbrajs O. // *J. Infrared Millimeter Terahertz Waves*. 2017. V. 38. N 7. P. 824–837.
- [6] Новожилова Ю.В., Рыскин Н.М., Усачева С.А. // *ЖТФ*. 2011. Т. 81. В. 9. С. 16–22.
- [7] Shigaev A.M., Dmitriev B.S., Zharkov Y.D., Ryskin N.M. // *IEEE Trans. Electron Dev*. 2005. V. 51. N 5. P. 790–797.
- [8] Розенталь Р.М., Гинзбург Н.С., Зайцев Н.И., Иляков Е.В., Кулагин И.С. // *ЖТФ*. 2006. Т. 76. В. 1. С. 82–85.
- [9] Landa P.S. *Nonlinear oscillations and waves in dynamical systems*. Dordrecht: Springer, 2013. 500 p.
- [10] Engelborghs K., Luzyanina T., Roose D. // *ACM Trans. Math. Soft.* 2002. V. 28. N 1. P. 1–21.